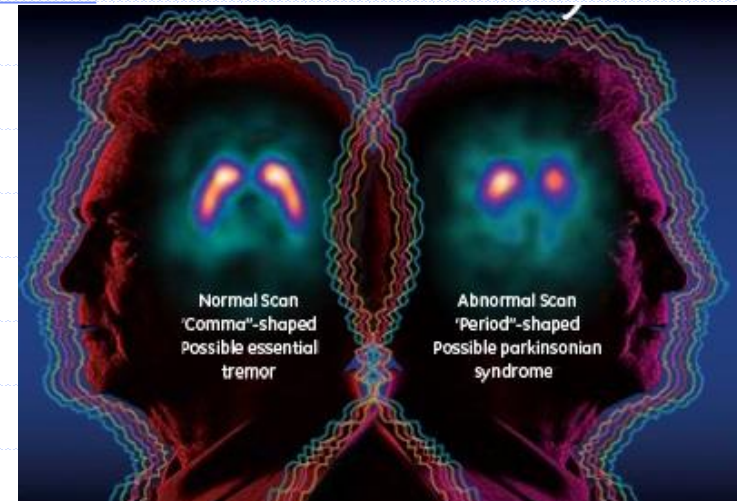
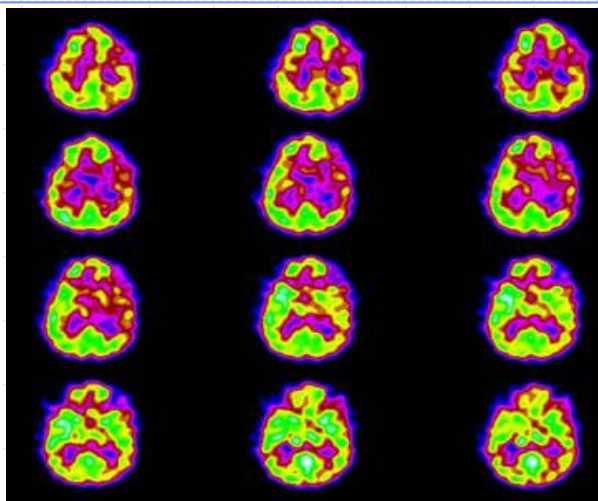
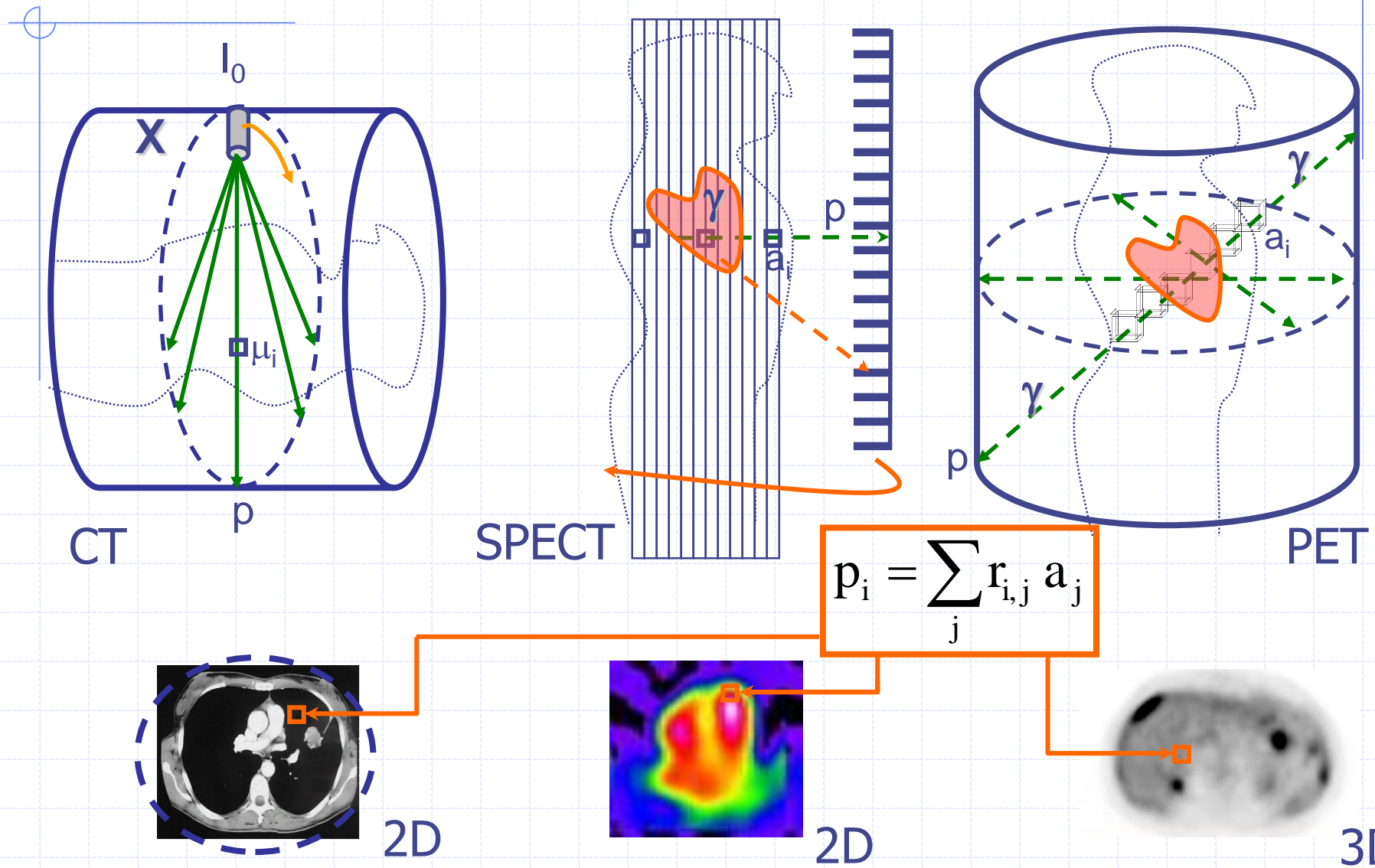


FORMATION TIC (Phymed, STIC) COMPLEMENTS EN TOMOGRAPHIE MEDICALE

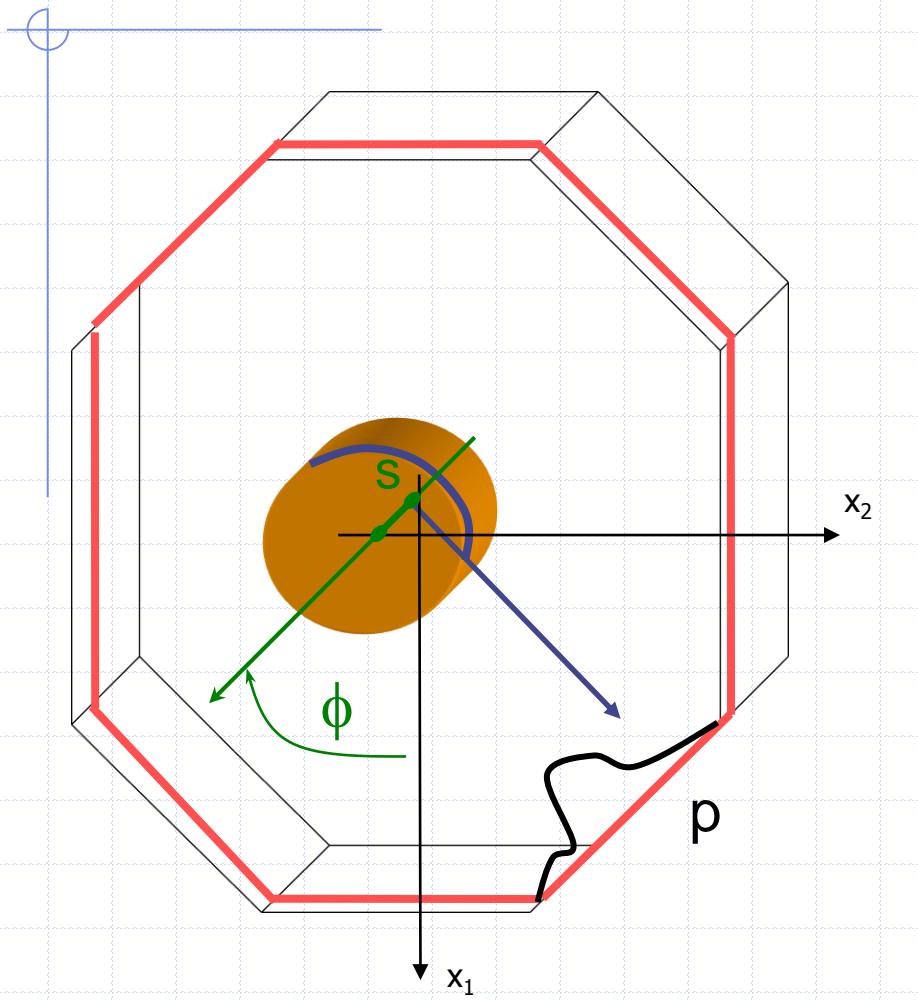


Fayçal Ben Bouallègue - faybenb@hotmail.com
<http://scinti.etud.univ-montp1.fr>

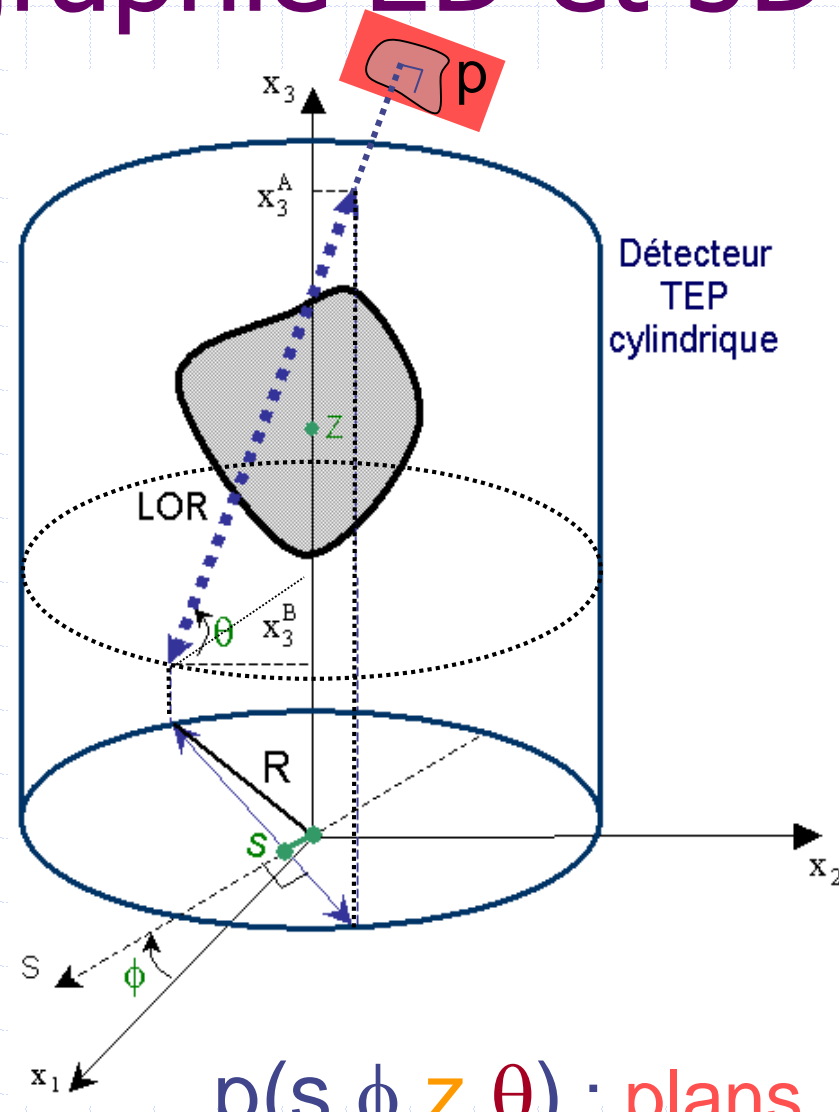
Tomographie: problème inverse linéaire



Codage en tomographie 2D et 3D

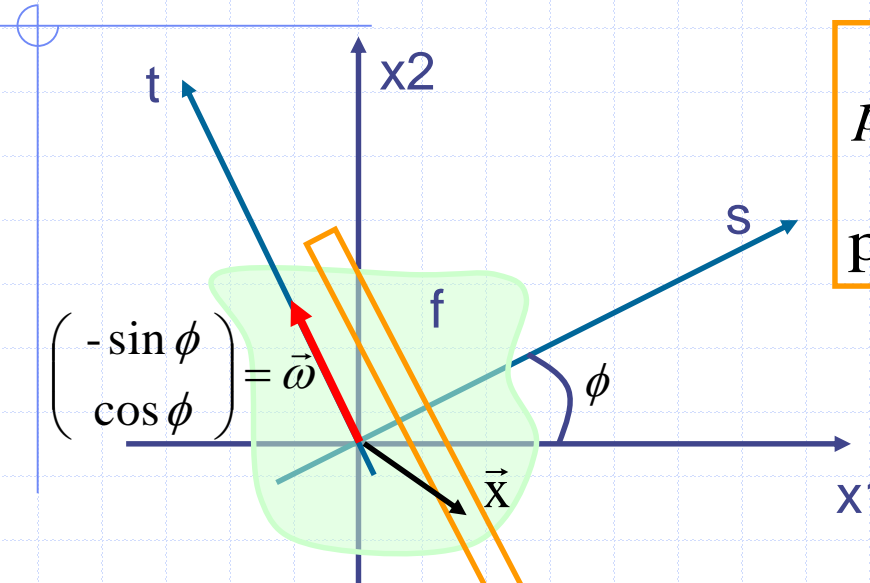


$p(s, \phi)$: lignes



$p(s, \phi, z, \theta)$: plans

Modélisation analytique

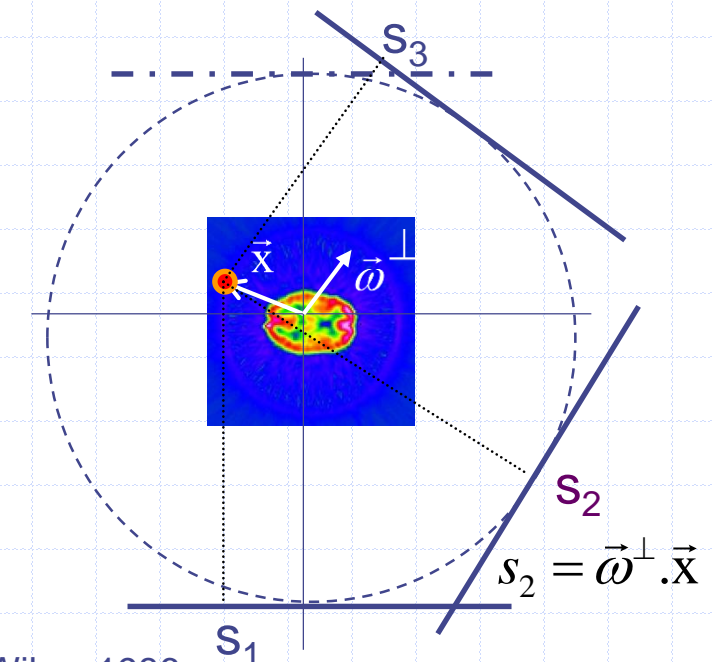


$$p(\vec{\omega}, s) = p_{\vec{\omega}}(s) = \int f(s\vec{\omega}^\perp + t\vec{\omega}) dt$$

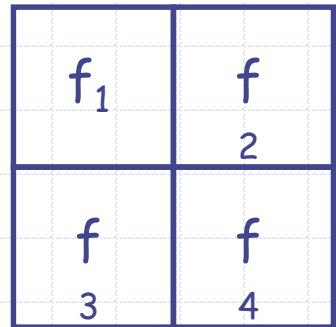
$p = Rf$ transformée de Radon

$$(R^* p)(\vec{x}) = \int_{\phi=0}^{\pi} p(\vec{\omega}, \vec{\omega}^\perp \cdot \vec{x}) d\phi$$

rétroprojection = épandage



Modélisation algébrique



$$p_1 = r_{1,1} f_1 + r_{1,2} f_2$$

$$p_2 = r_{2,3} f_3 + r_{2,4} f_4$$

$$p_3 = r_{3,1} f_1 + r_{3,3} f_3$$

$$\begin{pmatrix} r_{1,1} & r_{1,2} & r_{1,3} & r_{1,4} \\ r_{2,1} & r_{2,2} & r_{2,3} & r_{2,4} \\ r_{3,1} & r_{3,2} & r_{3,3} & r_{3,4} \\ r_{4,1} & r_{4,2} & r_{4,3} & r_{4,4} \end{pmatrix} \cdot \begin{pmatrix} f_1 \\ f_2 \\ f_3 \\ f_4 \end{pmatrix} = \begin{pmatrix} p_1 \\ p_2 \\ p_3 \\ p_4 \end{pmatrix}$$

$r_{i,j} = \% \text{ du pixel } j \text{ intersecté par la projection } i$

$$R \vec{f} = \vec{p}$$

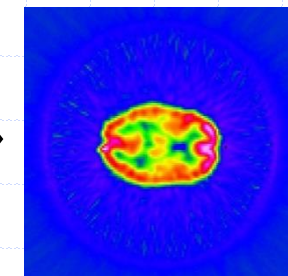
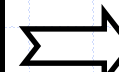
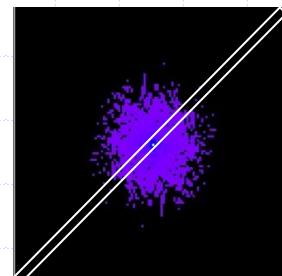
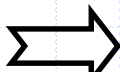
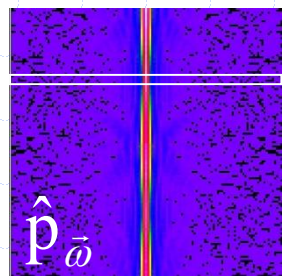
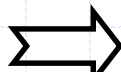
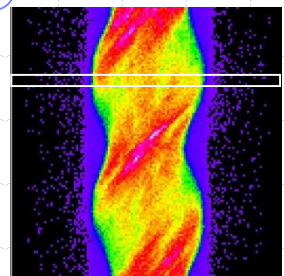
$$\begin{pmatrix} r_{1,1} & r_{2,1} & r_{3,1} & r_{4,1} \\ r_{1,2} & r_{2,2} & r_{3,2} & r_{4,2} \\ r_{1,3} & r_{2,3} & r_{3,3} & r_{4,3} \\ r_{1,4} & r_{2,4} & r_{3,4} & r_{4,4} \end{pmatrix} \cdot \begin{pmatrix} p_1 \\ p_2 \\ p_3 \\ p_4 \end{pmatrix} = \begin{pmatrix} b_1 \\ b_2 \\ b_3 \\ b_4 \end{pmatrix}$$

$${}^t R \vec{p} = \vec{b}$$

$b_1 = r_{1,1} p_1 + r_{3,1} p_3$	$b_2 = r_{1,2} p_1 + r_{4,2} p_4$
$b_3 = r_{2,3} p_2 + r_{3,3} p_3$	$b_4 = r_{2,4} p_2 + r_{4,4} p_4$

$\uparrow p_1$ $\uparrow p_2$
 $\uparrow p_3$ $\uparrow p_4$

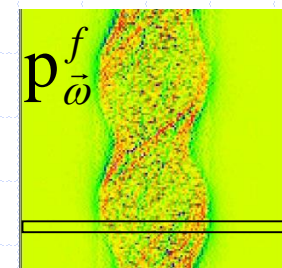
Algorithmes analytiques



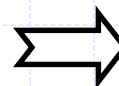
$\downarrow \times ABS$

\downarrow

TFI_1

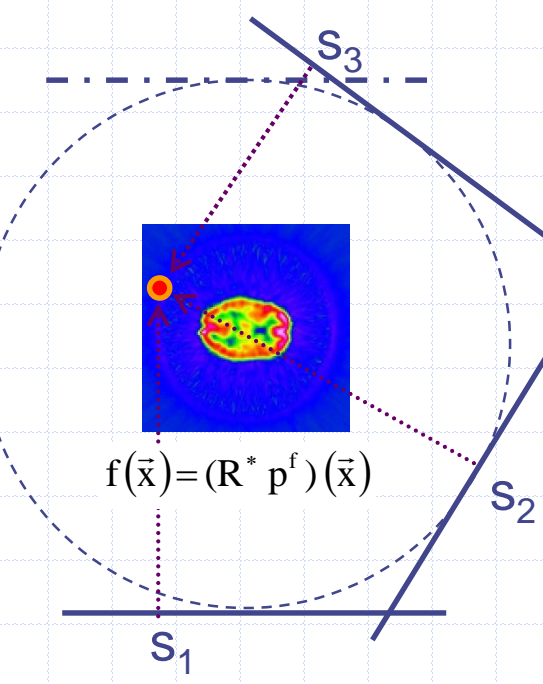


$$\hat{p}_{\vec{\omega}}(\sigma) = \hat{f}(\sigma \cdot \vec{\omega}^\perp)$$

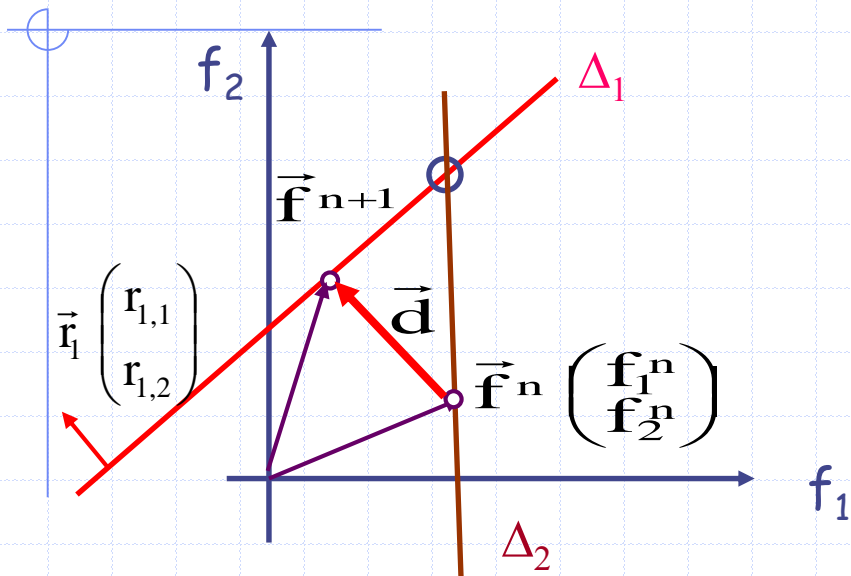


R^*

$$TF_s^{-1}[\hat{p}_{\vec{\omega}} \cdot abs] = p_{\vec{\omega}}^f$$



Algorithmes algébriques



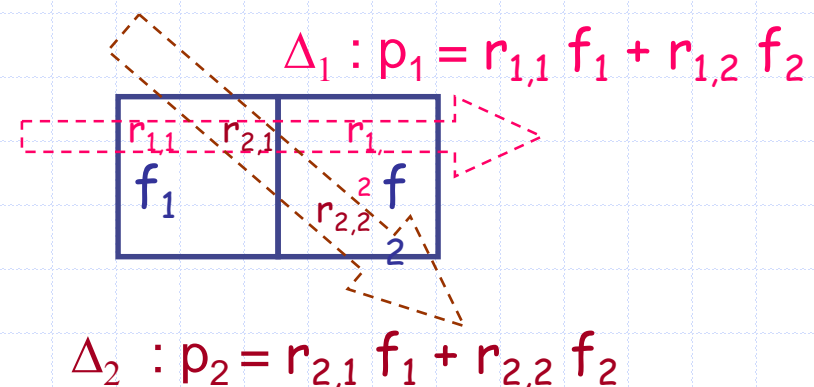
S. Kaczmarz
1895-1940

ART

$$\vec{f}^{n,j} = \vec{f}^{n,j-1} + R^* (\vec{p}_j - R\vec{f}^n|_j) \dots \vec{f}^{n+1,0} = \vec{f}^{n,J}$$

SIRT

$$\vec{f}^{n+1} = \vec{f}^n + R^* (\vec{p} - R\vec{f}^n)$$



Moindres carrés

$$\bar{f} = \arg \min_{f \in C} (J)$$

$$J = \| R\vec{f} - \vec{p} \|^2 = (\vec{R}\vec{f} - \vec{p})^T (\vec{R}\vec{f} - \vec{p})$$

$$\nabla J = 2R^T (\vec{R}\vec{f} - \vec{p}) = 0$$

$$R^T R \vec{f} = R^T \vec{p}$$

$$\bar{f} = (R^* R)^{-1} R^* \vec{p}$$

MAIS ...
 $\dim(R^* R) \sim 10000$
Et mal conditionnée

Steepest descent

$$\bar{f} = \arg \min_{f \in C} \left(\| R\vec{f} - \vec{p} \|^2 \right)$$

$$\bar{f}^{n+1} = \bar{f}^n - \gamma (\nabla J)^n = \bar{f}^n - \gamma R^T (R\bar{f}^n - \vec{p})$$

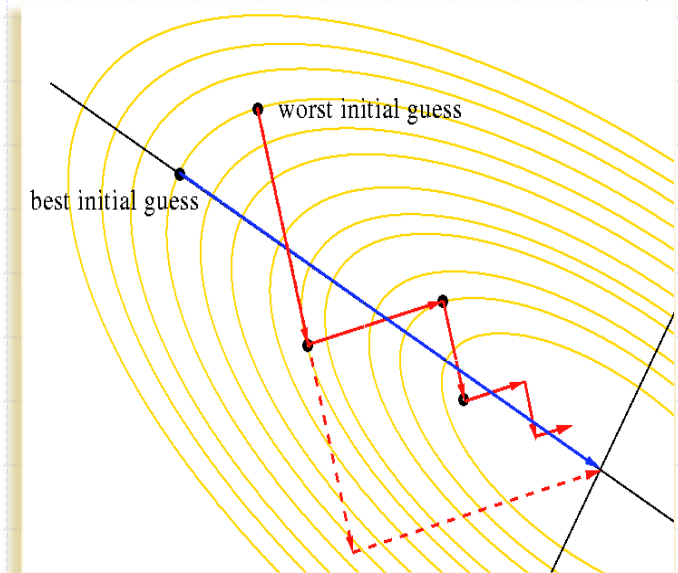
$$J(\bar{f}^{n+1}) = \| R\bar{f}^n - \gamma R R^T (R\bar{f}^n - \vec{p}) - \vec{p} \|^2$$

$$\frac{1}{2} \frac{\partial J(\bar{f}^{n+1})}{\partial \gamma} = - (R\bar{f}^n - \vec{p})^T R R^T (R\bar{f}^n - \gamma R R^T (R\bar{f}^n - \vec{p}) - \vec{p})$$

$$= - (R\bar{f}^n - \vec{p})^T R R^T (R\bar{f}^n - \vec{p}) + \gamma (R\bar{f}^n - \vec{p})^T R R^T R R^T (R\bar{f}^n - \vec{p}) = 0$$

$$\gamma = \frac{\| R^T (R\bar{f}^n - \vec{p}) \|^2}{\| R R^T (R\bar{f}^n - \vec{p}) \|^2}$$

$$\bar{f}^{n+1} = \bar{f}^n + \frac{\| R^* \vec{\varepsilon} \|^2}{\| R R^* \vec{\varepsilon} \|^2} R^* \vec{\varepsilon} ; \vec{\varepsilon} = \vec{p} - R\bar{f}^n$$



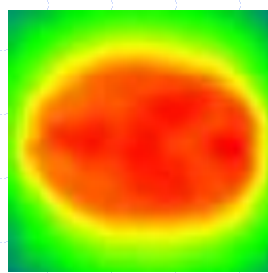
Gradient Conjugué

$$\bar{f} = \arg \min_{f \in C} \| R\vec{f} - \vec{p} \|^2$$

Directions de descente conjuguées :

$$(R\vec{d}^m)^T R\vec{d}^n = 0 \text{ si } m \neq n$$

Initialisation :
 $\vec{d}^0 = \vec{r}^0 = R^* \cdot \vec{p}$

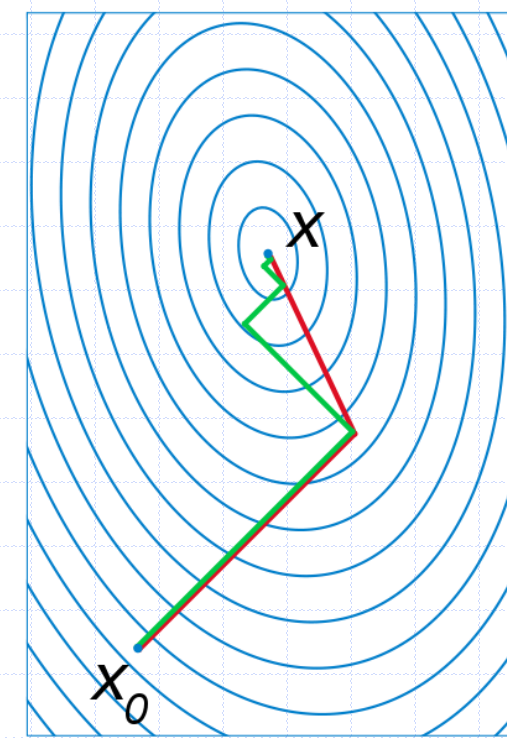


$$\omega^j = \frac{\|\vec{r}^j\|^2}{\vec{d}^{jT} R^* R \vec{d}^j}$$

$$\vec{r}^{j+1} = \vec{r}^j - \omega^j R^* R \vec{d}^j$$

$$\vec{d}^{j+1} = \vec{r}^{j+1} + \frac{\|\vec{r}^{j+1}\|^2}{\|\vec{r}^j\|^2} \vec{d}^j$$

$$\vec{f}^{j+1} = \vec{f}^j + \omega^j \vec{d}^j$$



MLEM et OSEM

Bayes : $P(\vec{f} / \vec{p}) = P(\vec{p}/\vec{f}).P(\vec{f})/P(\vec{p}) = P(\vec{p}/\vec{f}).P(\vec{f})$

$$\tilde{\vec{f}} = \arg \min_{\vec{f}} [-\log P(\vec{p}/\vec{f}) - \log P(\vec{f})]$$

Adéquation aux données

$$\tilde{\vec{f}} = \operatorname{argmin} \left[\sum_j (\bar{p}_j - p_j \log(\bar{p}_j)) \right]$$

ML-EM

$$f_i^{n+1} = f_i^n \left(R * \frac{p}{Rf^n} \right)_i$$

$$P(\vec{p}/\vec{f}) = \prod_j \frac{e^{-\bar{p}_j} \bar{p}_j^{p_j}}{p_j!} ; \quad \bar{p}_j = (Rf)_j$$

MLEM et OSEM

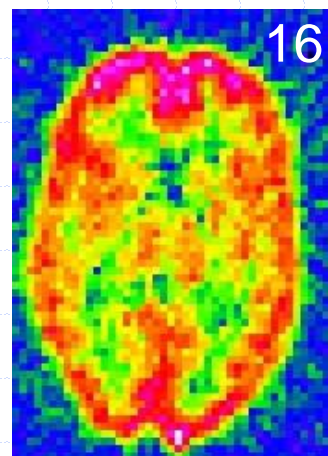
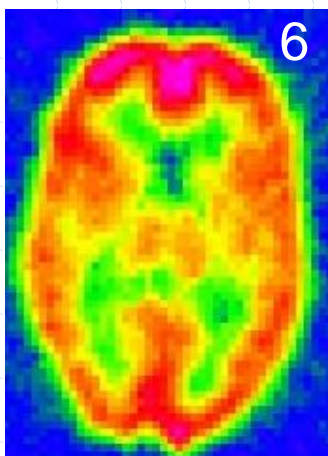
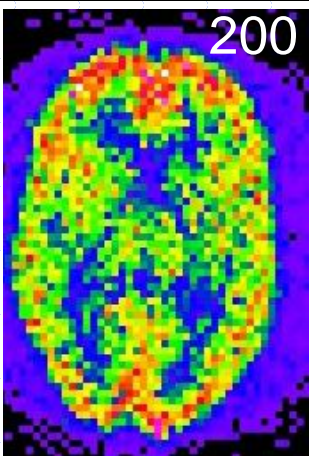
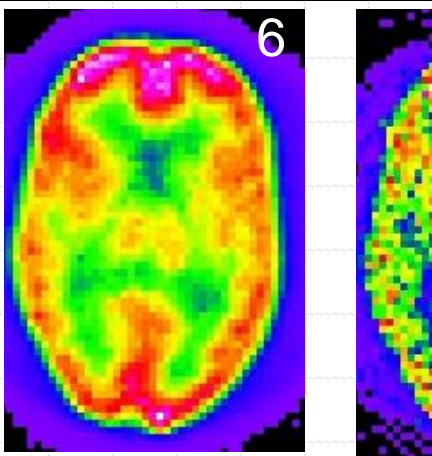
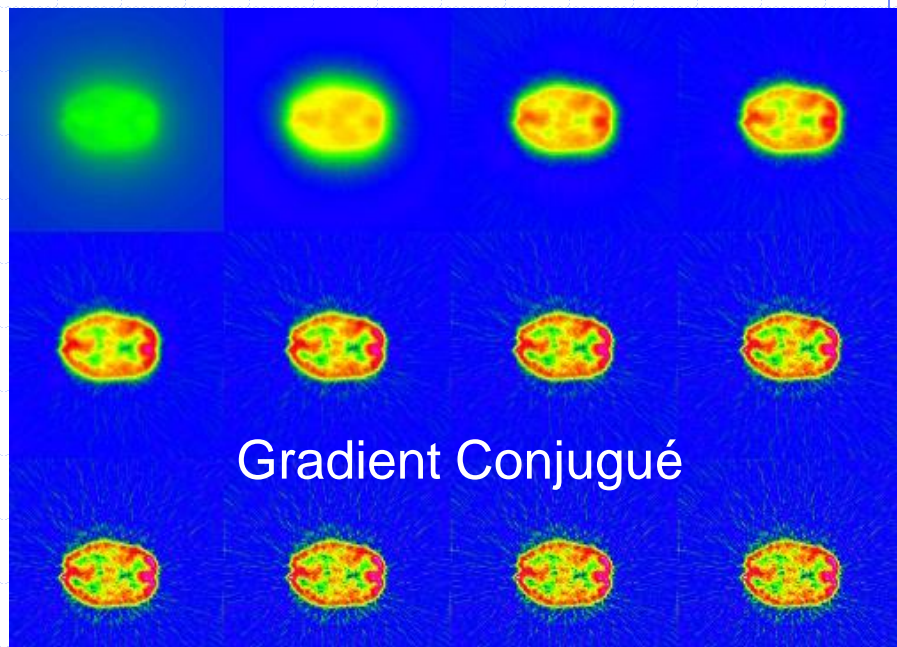
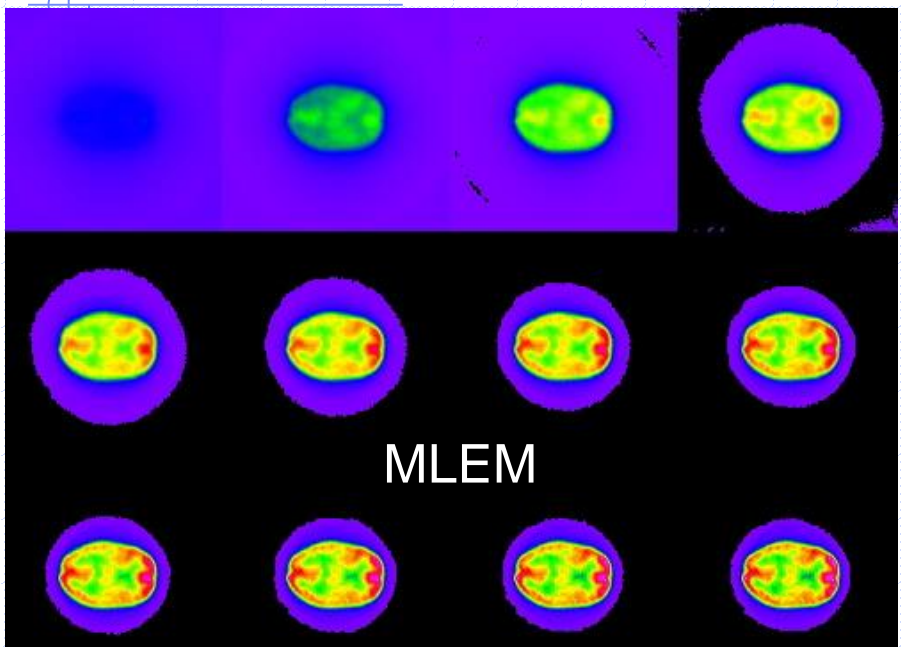
Avantages :

- Méthodes statistiques $\log P(\vec{p}/\vec{f})$
- Contrainte de non-négativité $\vec{f} \geq 0$
- Normalisation naturelle $\|\vec{f}\| = cste$

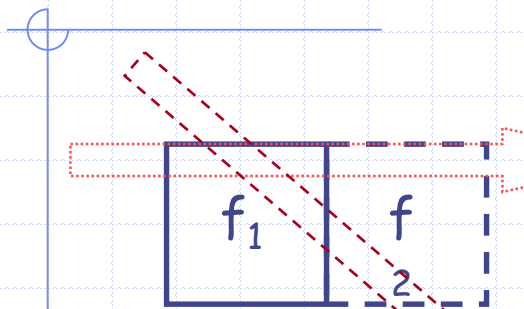
ML-EM

$$f_i^{n+1} = f_i^n \left(R^* \frac{p}{Rf_i^n} \right)_i$$

Exemples

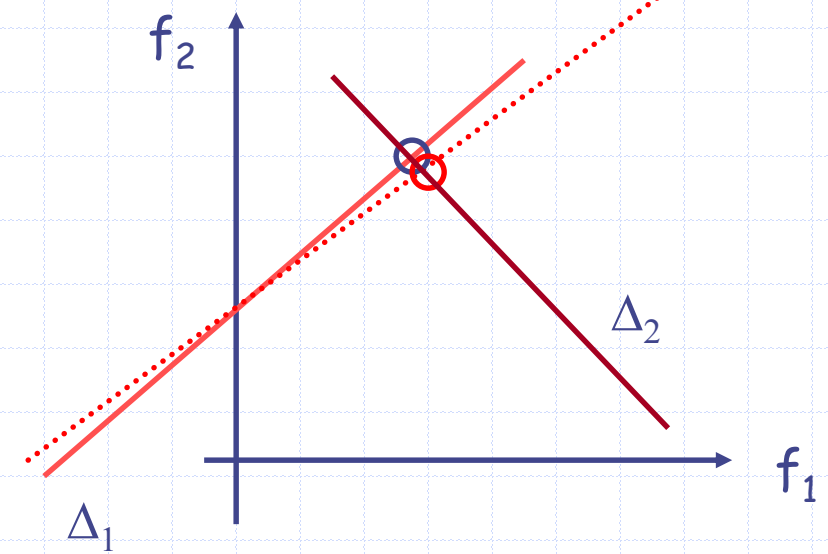


Régularisation ... approche intuitive

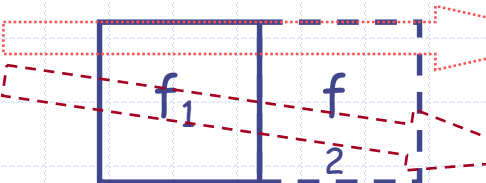


$$\Delta_1 : p_1 = r_{1,1} f_1 + r_{1,2} f_2$$

$$\Delta_2 : p_2 = r_{2,1} f_1 + r_{2,2} f_2$$



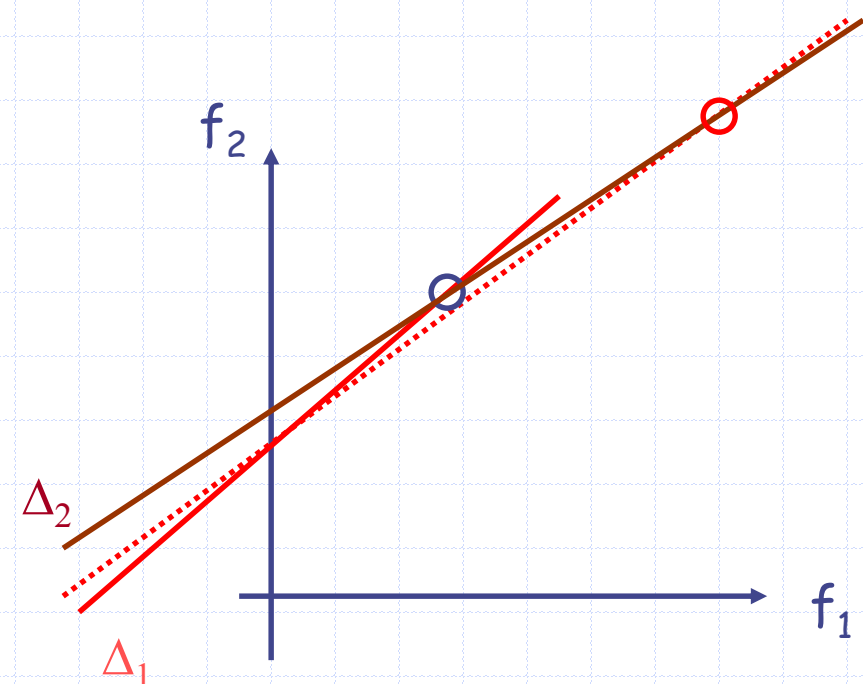
Régularisation ... approche intuitive



$$\Delta_1 : p_1 = r_{1,1} f_1 + r_{1,2} f_2$$

$$\Delta_2 : p_2 = r_{2,1} f_1 + r_{2,2} f_2$$

$$\begin{aligned}
 64^2 &= 4\,096 \\
 128^2 &= 16\,384 \\
 256^2 &= 65\,536 \\
 512^2 &= 262\,144
 \end{aligned}$$



Exemple

Matrice de Wilson

$\text{Det} = 1$

$$\begin{pmatrix} 10 & 7 & 8 & 7 \\ 7 & 5 & 6 & 5 \\ 8 & 6 & 10 & 9 \\ 7 & 5 & 9 & 10 \end{pmatrix} \begin{pmatrix} 9,2 \\ -12,6 \\ 4,5 \\ -1,1 \end{pmatrix} = \begin{pmatrix} 32,1 \\ 22,9 \\ 33,1 \\ 30,9 \end{pmatrix}$$

$$R \begin{pmatrix} 1 \\ 1 \\ 1 \\ 1 \end{pmatrix} = \begin{pmatrix} 10 & 7 & 8 & 7 \\ 7 & 5 & 6 & 5 \\ 8 & 6 & 10 & 9 \\ 7 & 5 & 9 & 10 \end{pmatrix} \begin{pmatrix} 1 \\ 1 \\ 1 \\ 1 \end{pmatrix} = \begin{pmatrix} 32 \\ 23 \\ 33 \\ 31 \end{pmatrix}$$

$$\begin{pmatrix} 10 & 7 & 8 & 7 \\ 7 & 5 & 6 & 5 \\ 8 & 6 & 10 & 9 \\ 7 & 5 & 9 & 10 \end{pmatrix} \begin{pmatrix} -7,2 \\ 14,6 \\ -2,5 \\ 3,1 \end{pmatrix} = \begin{pmatrix} 31,9 \\ 23,1 \\ 32,9 \\ 31,1 \end{pmatrix}$$

$$\kappa(R) = \|R\| \cdot \|R^{-1}\| = \frac{\mu_{\max}}{\mu_{\min}}$$

où $\mu = \sqrt{\text{valeurs propres de } R^t R}$

$$\text{Sp}(R) \approx \{0,01; 0,84; 3,86; 30,29\} \Rightarrow \kappa(R) \approx \frac{30,29}{0,01} \approx 3029$$

La matrice de Wilson est très mal conditionnée ($\kappa > > 1$)

Problème d'Hadamard bien posé ?

✓ En continu : $\hat{p}_{\vec{\omega}}(\sigma) = \hat{f}(\sigma \cdot \vec{\omega}^\perp)$, R bijectif d'inverse continue (conditions d'Hadamard).

✓ En discret, les choses sont moins simples :

- R surjectif ? $\iff {}^t R \vec{R} \vec{f} = A\vec{f} = {}^t R \vec{p} = \vec{q} \iff \vec{f} = \arg \min_{f \in C} \|\vec{p} - R\vec{f}\|^2$
- R injectif ? : choix parmi les solutions possibles
- R^{-1} continue mais $\|R^{-1}\|$ grande : $\kappa(R) = \|R\| \|R^{-1}\| = \frac{\mu_{\max}}{\mu_{\min}} \gg 1$

$$\frac{\|\delta \vec{f}\|}{\|\vec{f}\|} \leq \kappa(R) \frac{\|\delta \vec{p}\|}{\|\vec{p}\|}$$

Régularisation

Remplacer : $\bar{f} = \arg \min_{f \in C} \|\vec{p} - R\vec{f}\|^2$ par

$$\bar{f} = \arg \min_{f \in C} \left\{ \|\vec{p} - R\vec{f}\|^2 + \alpha \cdot \rho(\vec{f}) \right\}$$

Adéquation aux données
Surjectivité du problème inverse

Régularisation
injectivité

Exemples : $\rho(\vec{f}) \in \left\{ \|\vec{f}\|^2 ; \langle \vec{f} | Q\vec{f} \rangle ; \sum_i f_i \ln(f_i) ; \dots \right\}$

Régularisation de Tikhonov

$$\bar{f} = \arg \min_{f \in C} \left\{ \|\vec{p} - R\vec{f}\|^2 + \alpha \cdot \|\vec{f}\|^2 \right\}$$

Adéquation aux données

Surjectivité du problème inverse

Régularisation
injectivité

$$\vec{f} = \arg \min_{\vec{f}} \left\{ \|\vec{p} - R\vec{f}\|^2 + \alpha \cdot \|\vec{f}\|^2 \right\} \Leftrightarrow (R^t R + \alpha I) f = R^t p$$

Solution directe : $\vec{f} = (R^t R + \alpha I)^{-1} R^t p$... ou solution par descente

Régularisation MAP-EM

Bayes : $P(\vec{f} / \vec{p}) = P(\vec{p}/\vec{f}).P(\vec{f})/P(\vec{p}) = P(\vec{p}/\vec{f}).P(\vec{f})$

$$\tilde{\vec{f}} = \arg \min_{\vec{f}} \left[-\log P(\vec{p}/\vec{f}) - \log P(\vec{f}) \right]$$

Adéquation aux données

$$P(\vec{p}/\vec{f}) = \prod_j \frac{e^{-q_j} q_j^{p_j}}{p_j!} ; \quad q_j = (Rf)_j$$

?

Régularisation MAP-EM-OSL

Bayes : $P(\vec{f} / \vec{p}) = P(\vec{p}/\vec{f}).P(\vec{f})/P(\vec{p}) = P(\vec{p}/\vec{f}).P(\vec{f})$

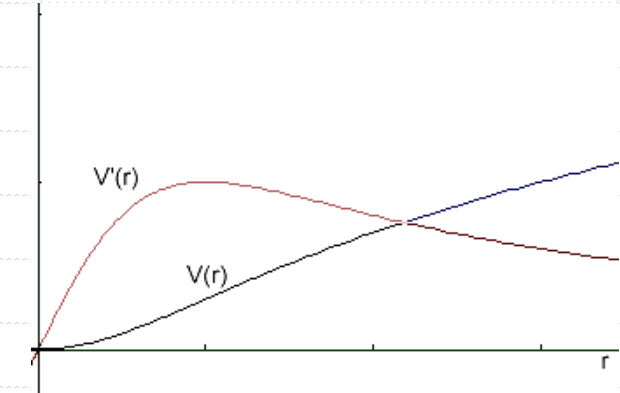
$$\tilde{\vec{f}} = \arg \min_{\vec{f}} \left[-\log P(\vec{p}/\vec{f}) - \log P(\vec{f}) \right]$$

Adéquation aux données

$$P(\vec{p}/\vec{f}) = \prod_j \frac{e^{-q_j} q_j^{p_j}}{p_j!} ; \quad q_j = (Rf)_j$$

$$P(\vec{f}) = \frac{1}{K} e^{-\beta \cdot \sum_{i,j} w_{i,j} \cdot V(f_i - f_j)}$$

Distribution de Gibbs

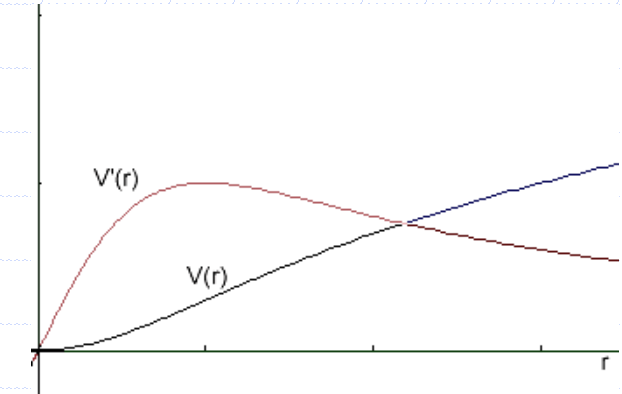


Régularisation MAP-EM-OSL

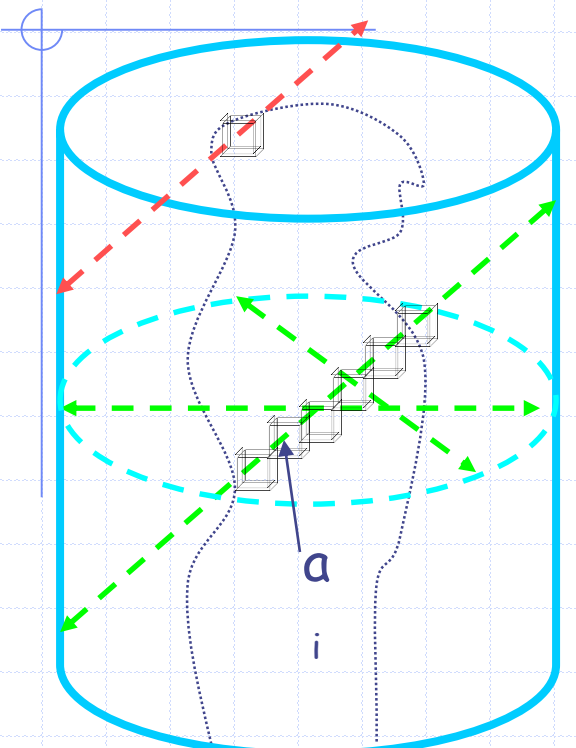
$$\tilde{\vec{f}} = \arg \min_{\vec{f}} \left[-\log P(\vec{p}/\vec{f}) + \beta \sum_{i,j} w_{i,j} V(f_i - f_j) \right]$$

$$f_i^{n+1} = f_i^n \frac{1}{\sum_j R_{ij} + \beta \partial_i U} \sum_j R_{ij} \frac{p_j}{q_j}$$

$$\partial_i U = \sum_{k \in V(i)} w_{i,k} \frac{\partial V}{\partial r} (f_i - f_k)$$



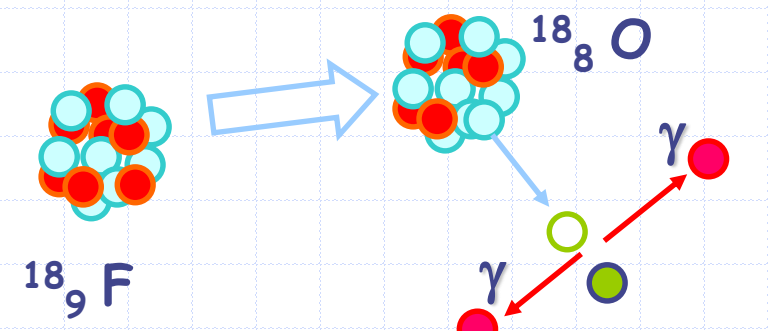
Tomographie en coïncidence 3D



Exemple de la TEP

Projections 3D redondantes et incomplètes

- Recherche de $f(x,y,z)$ connaissant $p(s,\phi,z,\theta)$
- Certaines projections obliques ne sont pas enregistrées pour $\theta \neq 0$

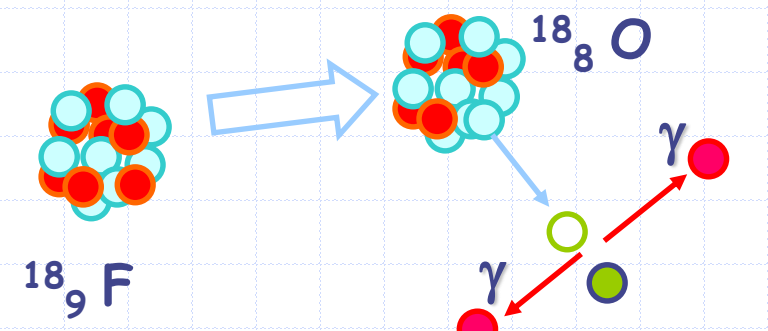
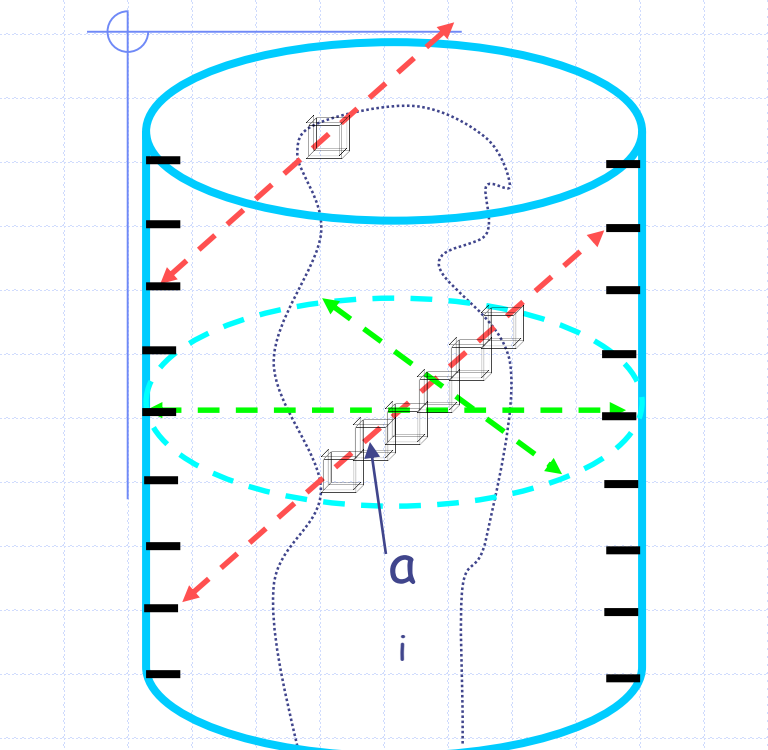


Tomographie en coïncidence 3D

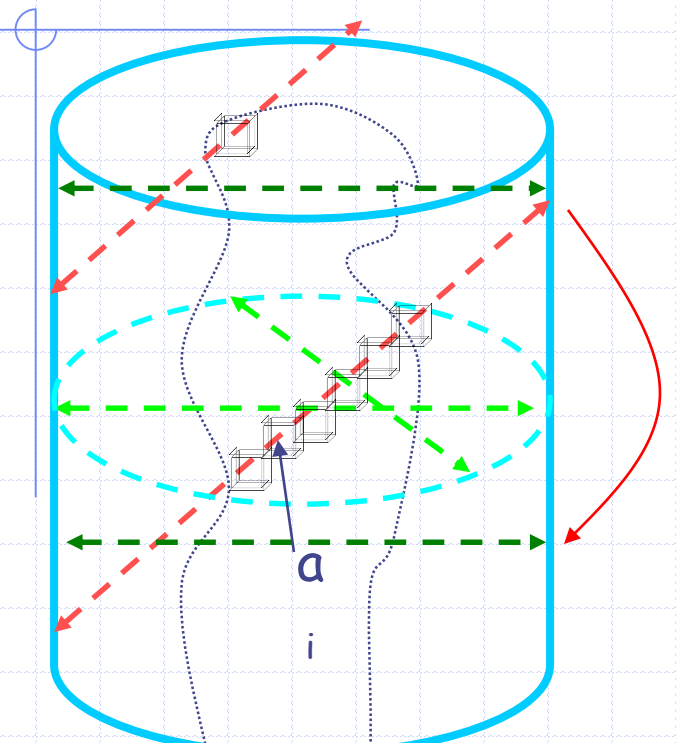
Projections 3D redondantes et incomplètes

- **Reconstruction 2D de données 2D**

- Utilisation d'un collimateur
- ↘ statistique de comptage, ↘ S/B

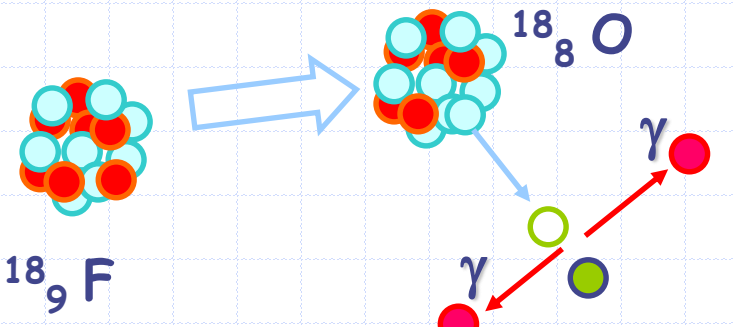


Tomographie en coïncidence 3D

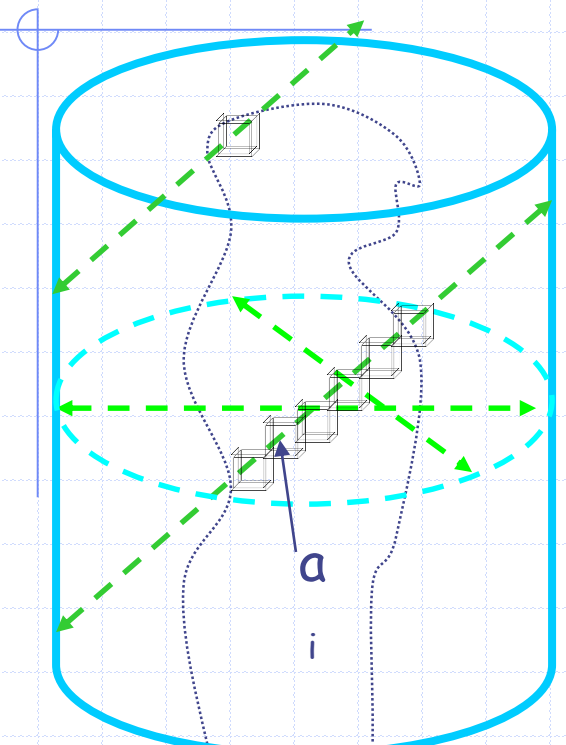


Projections 3D redondantes et incomplètes

- **Reconstruction 2D de données 2D**
 - Utilisation d'un collimateur
 - $\downarrow \gamma$ détectés N , $\downarrow S/B=N/\sqrt{N}=\sqrt{N}$
- **Réarrangement 2D de données 3D**
 - Algorithmes de «rebinning »
 - $S/B \uparrow$ mais approximation

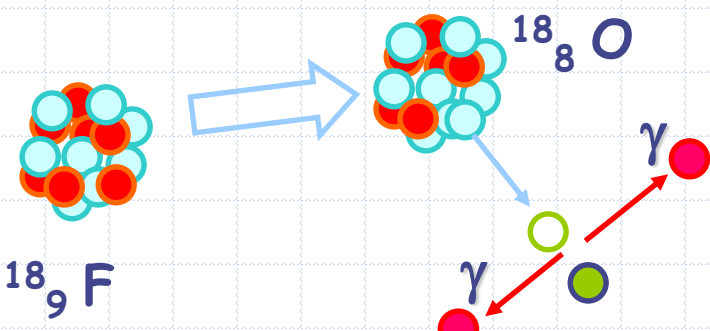


Tomographie en coïncidence 3D



Projections 3D redondantes et incomplètes

- **Reconstruction 2D de données 2D**
 - Utilisation d'un collimateur
 - $\downarrow \gamma$ détectés N, $\downarrow S/B = N/\sqrt{N} = \sqrt{N}$
- **Réarrangement 2D de données 3D**
 - Algorithmes de «rebinning »
 - S/B \uparrow mais approximation
- **Reconstruction 3D de données 3D**
 - Algorithmes algébriques 3D
 - RPF 3D si projections complètes
 - S/B \uparrow mais temps de calcul $\uparrow\uparrow$



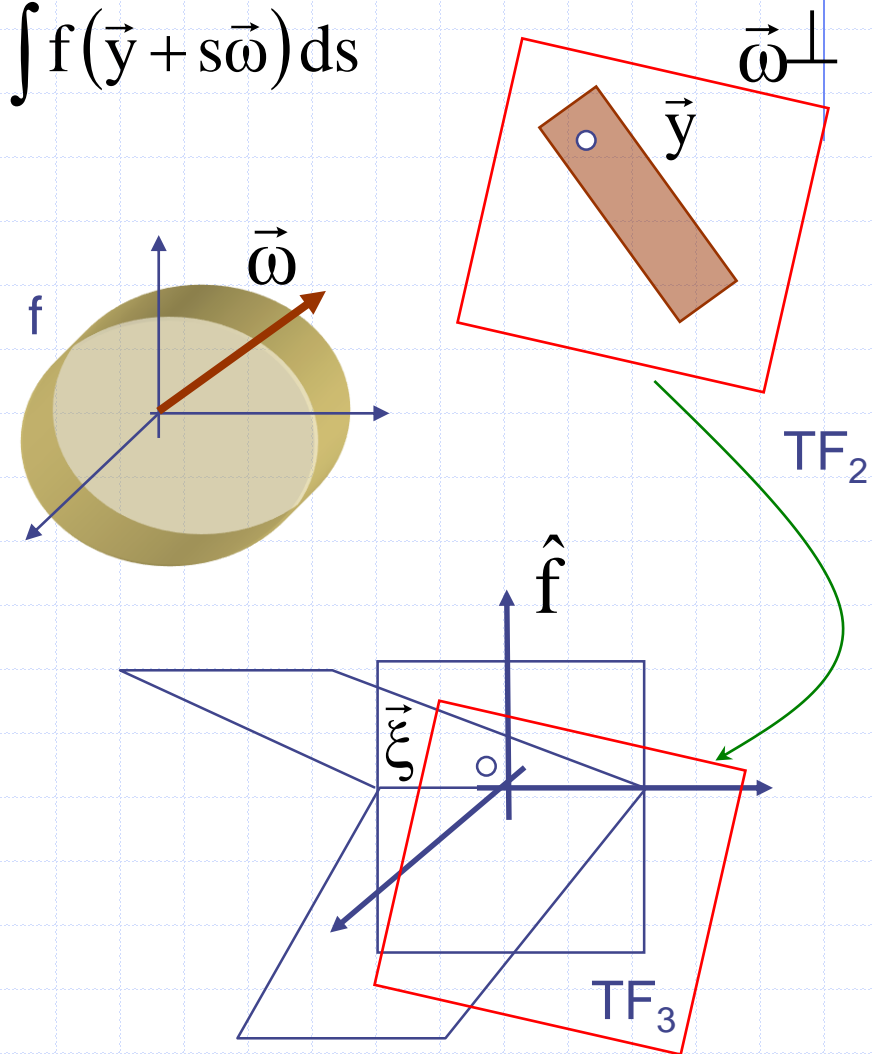
Un théorème de Radon 3D...

$$\forall \vec{\omega} \in S^2, \quad \forall \vec{y} \in \vec{\omega}^\perp, p_{\vec{\omega}}(\vec{y}) = \int f(\vec{y} + s\vec{\omega}) ds$$

$$\hat{p}_{\vec{\omega}}(\vec{\xi}) = \iint_{\vec{\omega}^\perp} f(\vec{y} + s\vec{\omega}) e^{-2i\pi \vec{y} \cdot \vec{\xi}} ds d\vec{y}$$

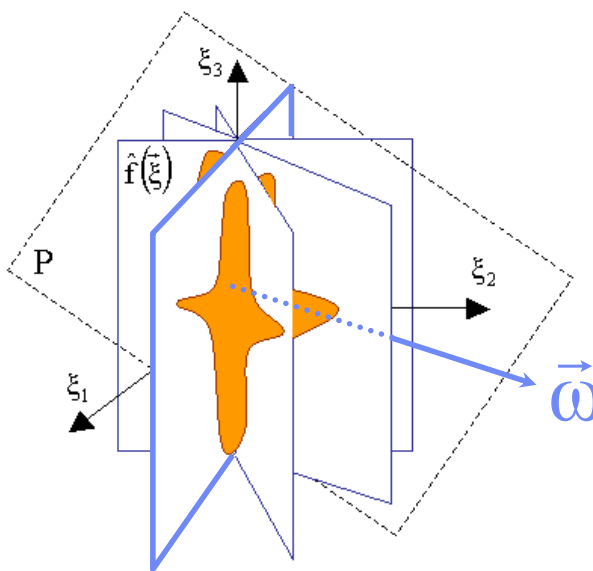
$$\hat{p}_{\vec{\omega}}(\vec{\xi}) = \iiint f(\vec{x}) e^{-2i\pi \vec{x} \cdot \vec{\xi}} d\vec{x} = \hat{f}(\vec{\xi})$$

$$\forall \vec{\xi} \in \vec{\omega}^\perp, \hat{p}_{\vec{\omega}}(\vec{\xi}) = \hat{f}(\vec{\xi})$$





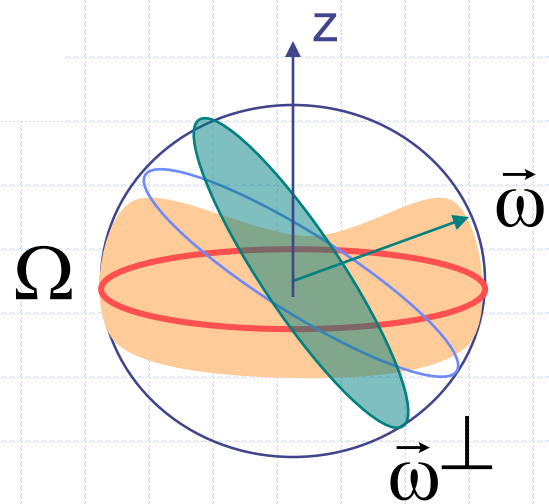
1- Condition d'Orlov :



Condition nécessaire à l'affectation
de toutes les fréquences spatiales de \mathbb{R}^3 :

Ω contient au moins un cercle équatorial de S
i.e

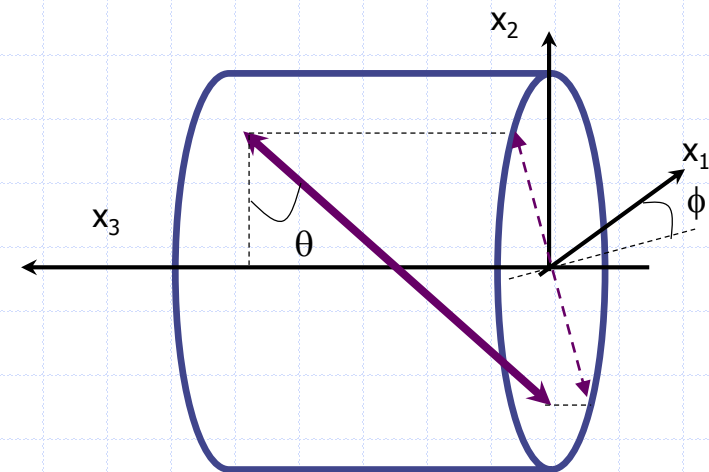
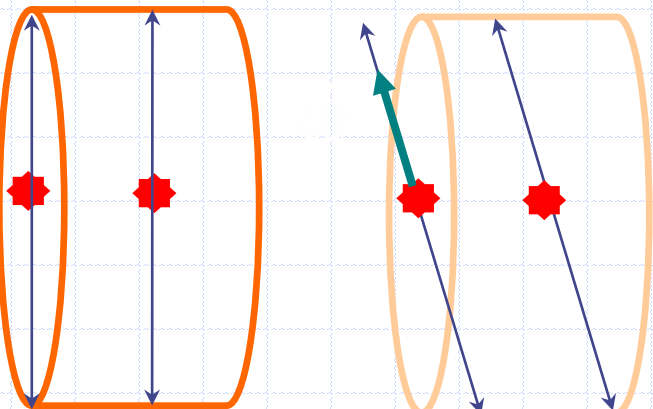
Ω intersecte tout cercle équatorial de S



... plutôt difficile à appliquer !

1- Condition d'Orlov

2 - Projections non tronquées



3 – moyennant une interpolation 3D dans le domaine des fréquences

$$\hat{p}(\xi_1, \xi_2) = \hat{f}(\xi_1 \cos \theta \sin \phi - \xi_2 \sin \theta, \xi_1 \sin \theta \sin \phi + \xi_2 \cos \theta, -\xi_1 \cos \phi)$$

Solutions possibles

1– Condition d'Orlov

- DéTECTEUR cylindrique

2 – Projections tronquées

- Estimées par reconstruction 2D puis projection ou rebining

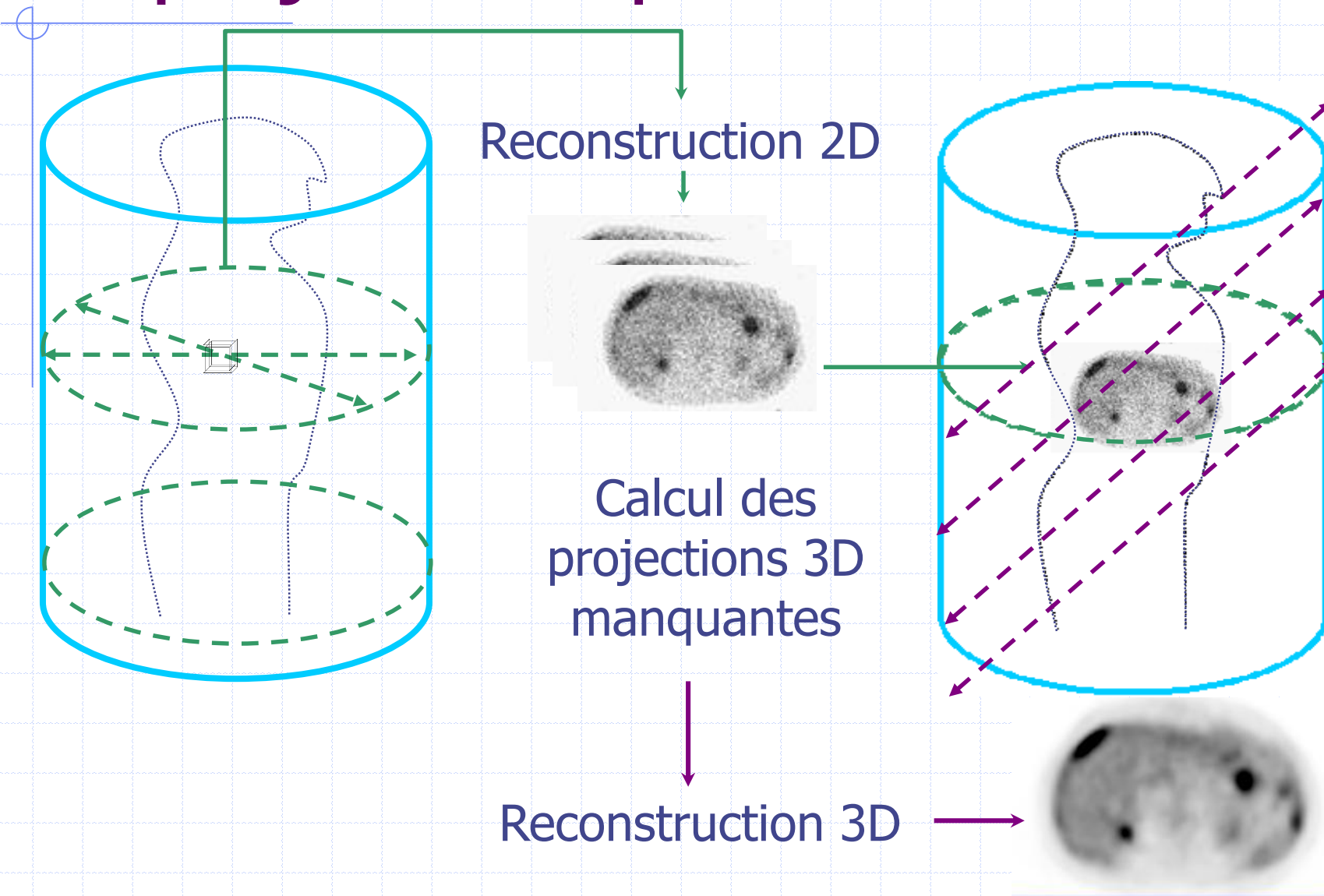
3 –Interpolation 3D en fréquence

- Optimisation de l'interpolation (fonctions de Kaiser-Bessel)
- Utilisation d'une rétro-projection filtrée (filtre de Colsher)

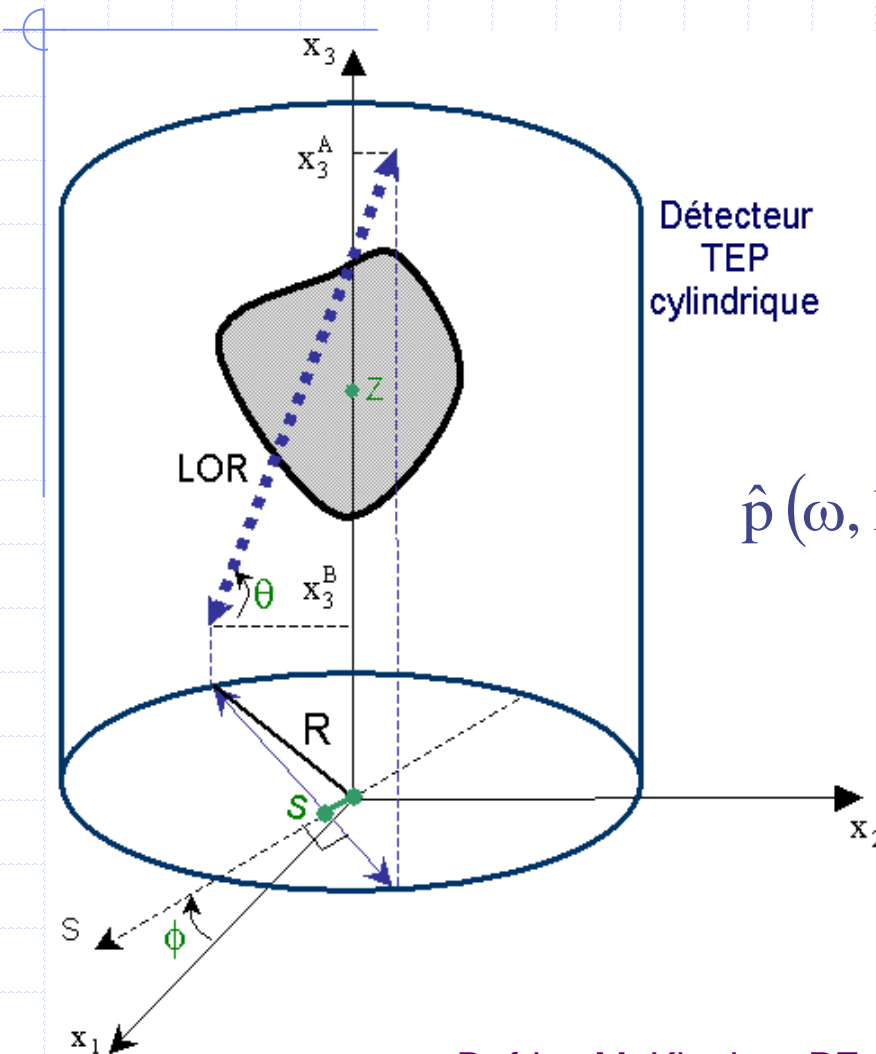
En « routine » : Utilisation d'algorithmes algébriques (OSEM 3D)
Reconstruction 2D après rebining des projections 3D

Fourier-based reconstruction for fully 3-D PET. Matej S, Kazantsev IG. IEEE Trans Med Imaging 2006;25:845-54.
Evaluation of a new gridding method for fully 3D direct Fourier PET reconstruction based on a two-plane geometry
F Ben Bouallègue, J F Crouzet, D Mariano-Goulart. Comput Med Imaging Graph. 2008;32:580-589.
Colsher JG. Fully three-dimensional PET. Phys Med Biol 25(1), 103-115, 1980

Reprojection après RPF 2D



Ré-arrangement (rebinning) exact



$$p\left(s, \varphi, z = \frac{x_3^A + x_3^B}{2}, \delta = \operatorname{tg}\theta\right)$$

TF(s,φ) puis TF(z)
si invariance en Tz

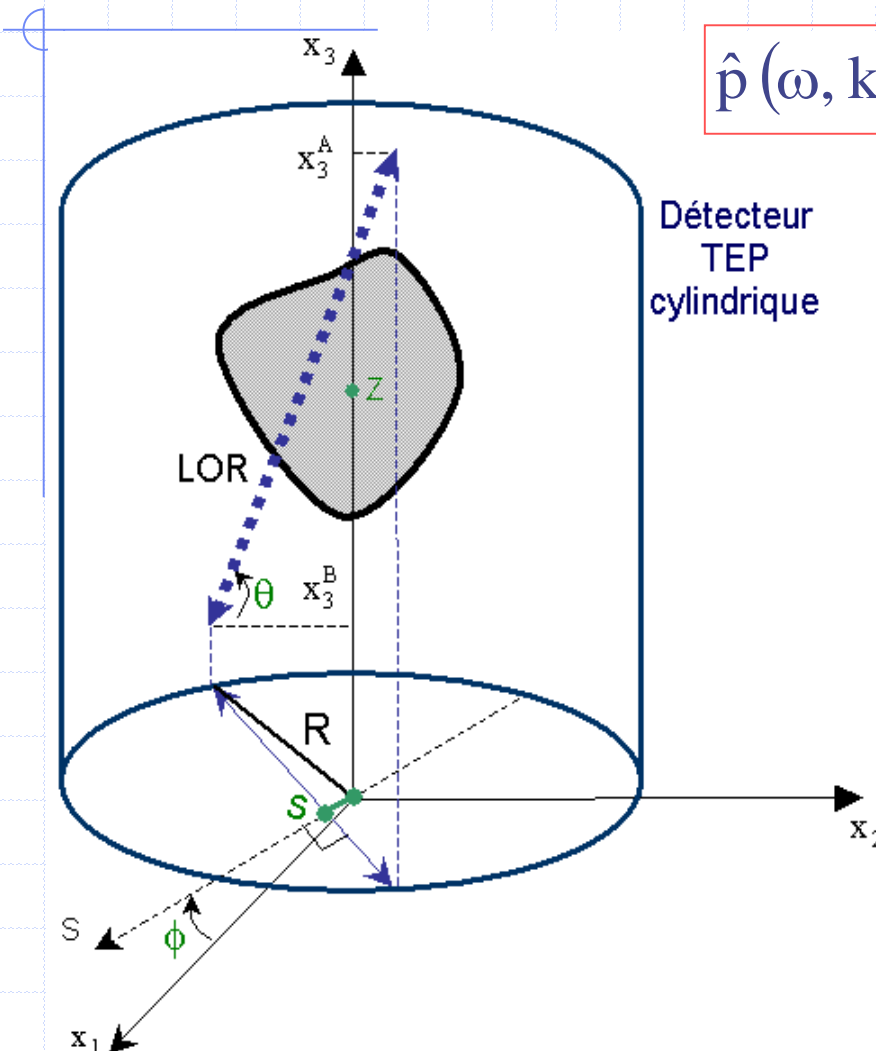
$$\hat{p}(\omega, k, \zeta, \delta) = e^{-ik \arctan(\alpha)} \hat{p}(\omega\sqrt{1+\alpha^2}, k, \zeta, 0)$$

$$\alpha = \frac{\delta \zeta}{\omega}$$

Defrise M, Kinahan PE, Townsend DW, Michel C, Sibomana M, Newport DF.

Exact and approximate rebinning algorithms for 3-D PET data. IEEE Trans Med Imaging 1997;16:145-58.

Ré-arrangement approximatif



$$\hat{p}(\omega, k, \zeta, \delta) = e^{-ik \arctan(\alpha)} \hat{p}(\omega\sqrt{1+\alpha^2}, k, \zeta, 0)$$

DL à l'ordre 1 sur $\alpha = \frac{\delta \zeta}{\omega}$

$$\hat{p}(\omega, k, \zeta, \delta) \approx e^{-ik\alpha} \hat{p}(\omega, k, \zeta, 0)$$

$$\hat{p}(\omega, k, z, \delta) \approx \hat{p}\left(\omega, k, z - k \frac{\delta}{\omega}, 0\right)$$

SYNTHESE DE DONNEES 2D à S/B :

$$\hat{p}(\omega, k, z, 0) \approx \hat{p}\left(\omega, k, z + k \frac{\delta}{\omega}, \delta\right)$$

SYNTHESE DE DONNEES MANQUANTES :

$$\hat{p}(\omega, k, z, \delta) \approx \hat{p}\left(\omega, k, z - k \frac{(\delta - \delta')}{\omega}, \delta'\right)$$



Analyse numérique matricielle appliquée à l'art de l'ingénieur.

P. Lascaux et R. Théodor. 2 tomes.

MASSON.

The Mathematics of Computerized Tomography.

F. Natterer. 2001. SIAM.

Positron Emission Tomography. Basic Sciences and Clinical Practice.

PE Valk, DL Bailey,

DW Townsend, MN Maisey.

2003. Springer.

Reconstruction tomographique en imagerie médicale.

D. Mariano-Goulart

Encyclopédie Médico-chirurgicale,

35-105-A-10, 2009.